

# 软管流量调节器调节特性分析及设计准则

杜嘉陵

(贵州工业大学热工实验室,贵阳 550003)

**摘要** 分析了大雷诺数下软管的流量调节行为;导出了流量随下游压力的函数关系,即流量调节特性曲线;提出了以软管作为能动元件的流量调节器设计准则.

**关键词** 软管,流量调节器,调节特性,设计准则

## 引言

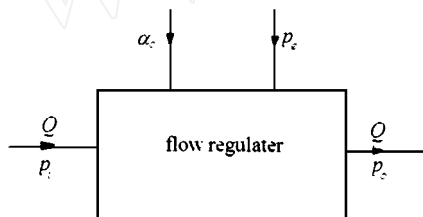


图 1 软管流量调节器

Fig. 1 The collapsible tube flow regulator

软管流动的主要特征是软管结构力学与流体力学相互结合.这种流动在生物医学等领域已显示出广阔应用前景<sup>[1]</sup>.本文分析了软管在大雷诺数下的流量限制行为,确定了流量调节特性,以便为流量调节器(图 1)设计提供基本依据.

## 1 软管定律和摩擦系数

确定软管的流量特性时,必须考虑软管变形的规律即软管定律和摩擦系数计算公式.

### 1.1 软管定律

图 2 是实验确定的一均匀乳胶管的软管定律和波速<sup>[2]</sup>.纵坐标是归一化跨壁压力  $\mathcal{P}$ ,  $\mathcal{P} = (p - p_e)/K_B$ ,  $p$  为管内压力,  $p_e$  是管外压力,  $K_B$  是抗弯刚度.横坐标是面积比  $\alpha_r = A/A_0$ ,  $A_0$  是静面积.软管开始扁缩成椭圆形时,  $\mathcal{P} = \mathcal{P}_B = -3$ .刚达到点接触和线接触时  $\mathcal{P}$  分别等于  $\mathcal{P}_P$  和  $\mathcal{P}_L$ .  $\mathcal{P} < \mathcal{P}_L$  时,软管定律是  $\mathcal{P} = -\alpha_r^{-3/2}$ .  $\mathcal{P}_L < \mathcal{P} < 0$  区间尚无简单精确公式.参数有纵向梯度时软管定律是

$$p - p_e = K_B \mathcal{P}(\alpha_r) \quad (1)$$

其中,  $\hat{p}_e = p_e + (p - p_e)_x$ ,  $(p - p_e)_x$  是参数纵向梯度对  $(p - p_e)$  的影响.稳定一维软管流动中控制参数是速度指数  $s$ <sup>[3]</sup>,  $s = u/c$ ,  $u$  是平均流速,  $c$  是波速,  $c = \sqrt{(A/\alpha_r)[d(p - p_e)/dA]}$ .

1996-04-10 收到第一稿,1996-11-17 收到修改稿.

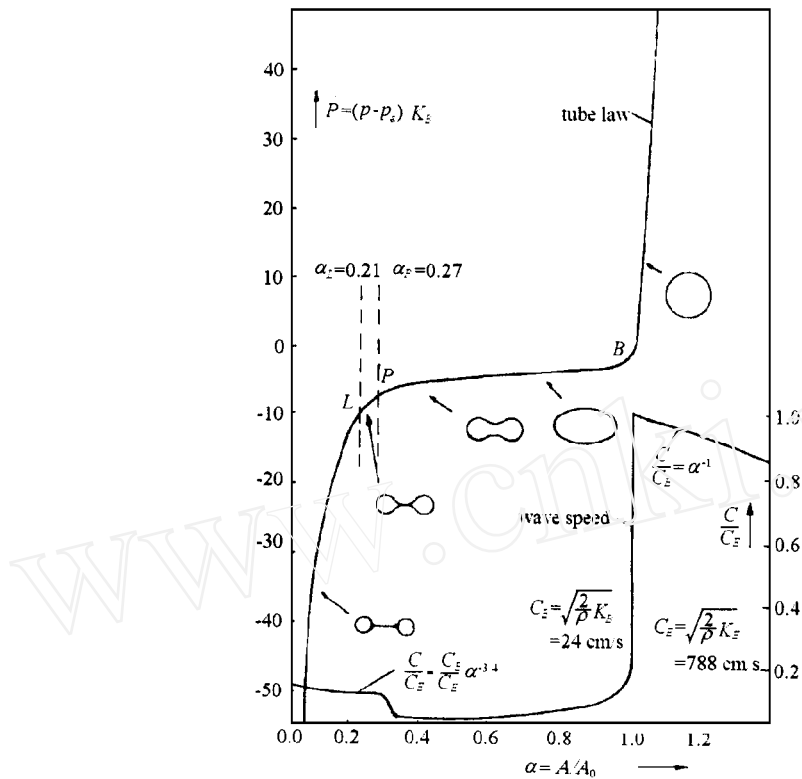
图2 实验确定的软管定律和波速<sup>[2]</sup>

Fig. 2 Experimentally determined  
tube law and wave speed<sup>[2]</sup>

波速随  $\alpha$  的变化可通过对软管定律求导数确定。

## 1.2 摩擦系数

若雷诺数足够大, 软管内是紊流, 可采用 Schlichting<sup>[4]</sup>提出的光滑管摩擦系数公式

$$= \begin{cases} 0.0791 & \frac{1}{2} u^2 \\ Re_{Dh}^{0.25} & \end{cases} \quad (2)$$

壁面摩擦统一写成

$$\frac{P}{A} = \frac{4f}{D_0} \frac{1}{2} u^2 \quad (3)$$

软管湿周  $P$ , 水力直径  $D_h$ , 雷诺数  $Re_{Dh}$  和摩擦系数  $f$  计算如下

$$0.36 \leq \frac{P}{A_0} \leq 1 \quad \leq 0.36$$

$$P = \sqrt{4 A_0}, \quad P = \sqrt{8 A_0} \quad (4 \text{ a, b})$$

$$D_h = \frac{4A}{P} = \sqrt{\frac{4A_0}{P}}, \quad D_h = \frac{4A}{P} = \sqrt{\frac{2A_0}{P}} \quad (5 \text{ a, b})$$

$$Re_{Dh} = Re_{D0} = \frac{(Q/A) Dh}{\sqrt{2}} = \frac{Q}{A_0} \sqrt{\frac{4}{A_0}}, \quad Re_{Dh} = \frac{Re_{D0}}{\sqrt{2}} = \frac{Q}{A_0} \sqrt{\frac{2}{A_0}} \quad (6 \text{ a, b})$$

$$f = \frac{0.0791}{Re_{Dh}^{0.25}} \sqrt{\frac{2}{P}}, \quad f = \frac{0.0791}{Re_{Dh}^{0.25}} = \frac{1}{2} \quad (7 \text{ a, b})$$

## 2 流量调节特性

采用图 3 所示的设计方案分析流量特性.

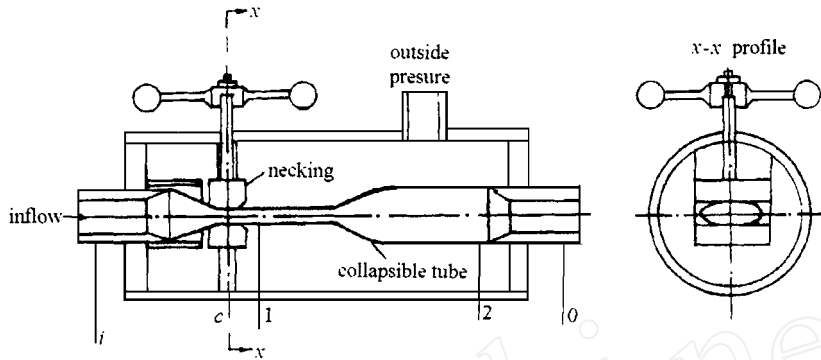


图 3 流量调节器设计方案

Fig. 3 The scheme of flow regulator

### 连续方程

$$Q = A_0 u \quad (8)$$

不计  $i$  和  $c$  点间损失有

$$P_{oi} = p_c + \frac{1}{2} u_c^2 \quad (9)$$

$P_{oi}$  是进口滞止压力;  $p_c$  是缩颈处管内压力.

$$Q = A_0 \sqrt{\frac{2}{\rho} [(P_{oi} - p_e) - (p_c - p_e)]} \quad (10)$$

当  $(p_c - p_e) / (P_{oi} - p_e)$  和  $(p_c - p_e) / (p_c - p_e)$  (即  $c = 0$ ) 时有  $Q = 0$ . 对应  $c$  流量存在一最大值. 令  $\frac{dQ}{dp_c} = \frac{A_0}{u_c} (S^2 - 1) = 0$ , 可见  $u = c (s = 1)$  时取得最大值  $Q_{max} = A_0 c c$ . 即实际软管定律计算的波速等于平均流速时出现最大值. 流量就被限制在该点. 但由于不知道实际软管定律, 可考虑 1 点.

$$P_{oi} = p_1 + \frac{1}{2} u_1^2 + K_c \frac{1}{2} u_c^2 \quad (11)$$

$K_c$  是缩颈损失系数. 1 点的软管定律为

$$(p_1 - p_e) = K_B P(-1) \quad (12)$$

结合方程(8), (11)和(12)得

$$\frac{Q}{A_c \sqrt{\frac{2}{\rho} (P_{oi} - p_e)_{ME}}} = \left[ \frac{1 - \frac{K_B P(-1)}{P_{oi} - p_e}}{\left[ \frac{c}{IC_1} + K_c \right]^2} \right]$$

特性曲线具有图4所示形状。平直部分对应流量由(13)式计算。考虑缩颈处的收缩和膨胀损失及下游摩擦损失

$$P_{oi} = p_0 + \frac{1}{2} u_0^2 + (K_e + K_c) \frac{1}{2} u_c^2 + \int_0^L \frac{P}{A} dx \quad (14)$$

$K_e$  是膨胀损失系数;  $L$  是管长;  $\int_0^L \frac{P}{A} dx$  可作常数。用连续方程可确定曲线转弯处的  $(p_0 - p_e)^*$  值

$$\left( \frac{p_0 - p_e}{P_{oi} - p_e} \right)^* = 1 - \left[ \frac{Q}{A_c \sqrt{\frac{2}{\rho} (P_{oi} - p_e)}} \right]^{*2} \cdot \left[ \left( \frac{u_c^2}{2} + (K_e + K_c) \right) + \frac{4fL}{D_0} \left( \frac{u_c^2}{2} - \text{最} \right) \right] \quad (15)$$

$K_e = K_L \left( 1 - \frac{u_c^2}{2} \right)$ ,  $K_L$  可用文献[6]确定的值。当  $(p_0 - p_e)$  进一步下降到某个值  $(p_0 - p_e)^{**}$  时, 激波开始振荡<sup>[5]</sup>。由于振荡开始前下游端先扁缩, 可近似认为

$$\left( \frac{p_0 - p_e}{P_{oi} - p_e} \right)^{**} = \frac{-3K_B}{P_{oi} - p_e} \quad (16)$$

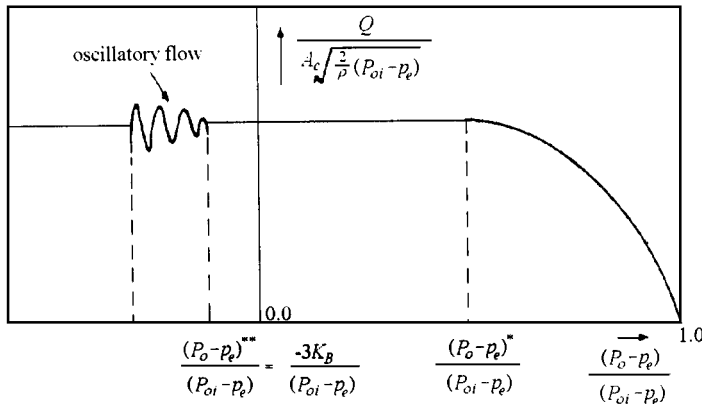


图4 流量调节器调节特性

Fig. 4 The regulation characteristic for a flow regulator

### 3 流量调节器设计准则

流量调节器变量见表1。如不考虑二次设计变量, 流量可表示成函数

$$Q = f(A_0, L, K_B, \mu, A_c, p_i - p_e, p_0 - p_e) \quad (17)$$

设计任务就是适当选择各变量使该函数达到规定值并满足条件:

- 1) 管内紊流 ( $Re_{D_0} \gg 1$ )
- 2) 紧靠缩颈下游是超临界流 ( $s_1 > 1$ )
- 3) 出口压差范围:  $\frac{(p_{0\max} - p_e)}{K_B} < \frac{(p_0 - p_e)^*}{K_B}$  (激波不消失) 和  $\frac{(p_{0\min} - p_e)}{K_B} > \frac{(p_0 - p_e)^{**}}{K_B}$
- 3 (激波不振荡)
- 4) 软管足够长

例如设计一台流量调节器, 要求流量  $Q$  保持 17.5 l/min, 进口压力  $p_i = 3432.1$  Pa, 出口压

力  $p_0 = 490.3 \sim 1470.9$  Pa, 液体粘度和密度分别为  $\mu = 0.01$  g/cm·s 和  $\rho = 1.0$  g/cm<sup>3</sup>. 用厚度  $t = 1$  mm,  $K_B = 40$  Pa, 内径  $D_0 = 2.5$  cm 的乳胶管作软管. 取  $p_e = 490.3$  Pa.  $Re_{D_0} = \frac{D_0 u_0}{\mu} = \frac{D_0 Q / \frac{1}{4} D_0^2}{\mu} = 146000 \gg 1$ , 满足条件 1). 取  $c_1 = 0.2$ , 由图 2 得  $c_1 = 24$  (cm/s)  $\times 0.2^{-3/4} = 268$  cm/s,  $u_1 = \frac{Q}{A_0 c_1} = 904$  cm/s,  $S_1 = u_1/c_1 = 3.37 > 1$ , 满足条件 (2).  $\frac{p_{0\min} - p_e}{K_B} = 0 > -3 = \frac{(p_0 - p_e)^{*}}{K_B}$ , 取  $c_c = 0.2$  和  $L = 40$   $D_0 = 100$  cm, 由式(15)计算出  $\frac{(p_0 - p_e)^8}{K_B} = 37.1$ ,  $p_0^* = 1971.0$  Pa, 而  $p_{0\max} = 1470.9$  Pa. 至此设计满足全部要求.

表 1 流量调节器变量

Table 1 The flow regulator variables

give variable	$Q (Q_{\max} > Q > Q_{\min})$	$p_i (p_{i\max} > p_i > p_{i\min})$	$p_0 (p_{0\max} > p_0 > p_{0\min})$	$\mu$	
first scheme variable	$A_0 = \frac{1}{4} D_0^2$	$K_B$	$L$	$p_e$	$c$
second scheme variable	$A_i$	$A_e$	$K_c$	$K_e$	

表中  $A_0$ ,  $K_B$  和  $L$  为软管参数;  $p_e$ ,  $c$  为控制变量.

## 4 结 论

大雷诺数下软管流量限制特性存在, 它是设计流量调节器时选择变量的主要依据.

## 参 考 文 献

- Shapiro AH. Steady flow in collapsible tubes. *ASME Journal of Biomechanical Engineering*, 1977, 99: 126~147
- Kececioglu I, McClurkin ME, Kamm RD, et al. Steady supercritical flow in collapsible tubes. Part 1. Experimental observations. *Journal of Fluid Mechanics*, 1981, 109: 367~389
- Griffiths DJ. Steady flow through veins and collapsible tubes. *Med & Biol Engrg*, 1971, 9: 597~602
- Schlichting H. Boundary Layer Theory. New York: McGraw-Hill, 1968, 561~575
- Griffiths DJ. Oscillations in the outflow from a collapsible tube. *Med & Biol Engrg*, 1977, 15: 357~362
- Henry JR. National advisory comm. aeronautics, ARR No. 14F26, June 1944

## THE ANALYSIS OF REGULATION CHARACTERISTICS AND THE DESIGN CRITERIA FOR THE COLLAPSIBLE TUBE FLOW REGULATOR

Du Jialing

( Thermal Engineering Laboratory, Guizhou University of Technology, Guiyang 550003, China )

**Abstract** The flow regulation behavior of collapsible tubes under high Reynolds number are analyzed. The flow rate as a function of downstream pressure, namely the flow regulation characteristic curve is derived. The design criteria for the flow regulator with a collapsible tube as its active element are presented.

**Key words** collapsible tubes, flow regulator, regulation characteristics, design criteria